

Прочитайте текст и выполните задания 16, 17 и 18.

Открытие поглощения инфракрасных лучей (по Дж. Тиндалю)

Открытие термо-ЭДС, возникающей при нагреве контакта двух разнородных металлов (термопары), сделало возможным исследование инфракрасных (тепловых) лучей. Термодатчик (последовательно соединённые термопары) при нагревании тепловыми лучами вырабатывает ЭДС, измеряемую гальванометром. По отклонению стрелки судят о степени нагрева.

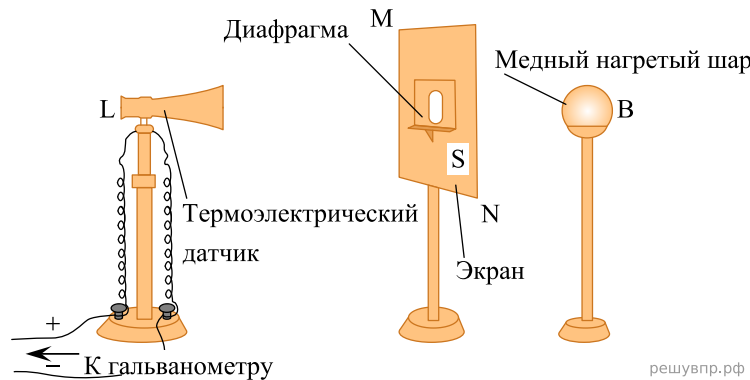


Рис. 1. Исследование прозрачности твёрдых тел

На рис. 1 показана схема исследования прозрачности твёрдых тел для тепловых лучей. Предполагалось, что комнатный воздух них прозрачен. В качестве источника излучения использовались нагретое тело, пламя и т. п. По закону Вина

с понижением температуры тела максимум излучения смещается в сторону длинных волн: $\lambda_{max} = \frac{b}{T}$, где

$b = 2897 \text{ мкм} \times \text{К}$, T — температура в кельвинах. В опыте исследуемая пластина (рис. 1) перекрывала отверстие диафрагмы. Оказалось, что прозрачные для видимого света оконное стекло непрозрачно для тепловых лучей. Пластина горного хрусталя пропускает: 38% излучения от пламени ($T \approx 1200 \text{ К}$), 6% — от меди, нагретой до $400 \text{ }^\circ\text{C}$ и 3% — меди, нагретой до $100 \text{ }^\circ\text{C}$. Пластина каменной соли (NaCl) пропускает более 92% лучей, испускаемых и пламенем, и нагретой медью (от $100 \text{ }^\circ\text{C}$ до $400 \text{ }^\circ\text{C}$).

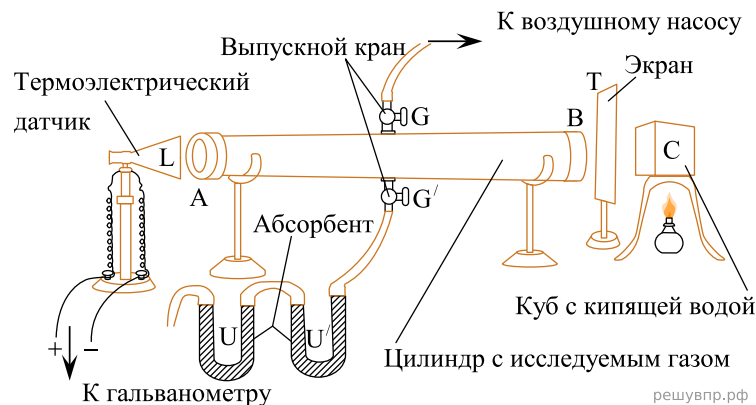


Рис. 2. Исследование прозрачности газов

При изучении прозрачности газов, например, CO_2 , в цилиндре AB в качестве «окон» использовались кристаллы NaCl (рис. 2, торцы цилиндра). В откачанный цилиндр через кран G' впускали предварительно осушенные (прошедшие через трубки $U-U'$) газы. После этого убирали экран T , закрывающий зачернённый сажей куб с кипящей водой C . По отклонению стрелки гальванометра судили о степени поглощения лучей.

Непрозрачность паров воды для инфракрасных лучей играет существенную роль в природе. Первые наблюдения были проделаны Р. Стрейчи в марте 1850 г. Он измерял падение температуры воздуха (Δt) от восхода до захода Солнца на открытом воздухе при абсолютно ясном небе с помощью термометра, фиксируя в журнале наблюдений парциальное давление водяных паров (абсолютную влажность).

| Понижение температуры воздуха после захода Солнца при различной абсолютной влажности воздуха | | | | | | | | | |
|--|------|------|------|------|------|------|------|------|------|
| $p_{\text{вод. пар.}}$ мм рт. ст. | 22,6 | 21,6 | 20,4 | 19,0 | 18,0 | 16,7 | 15,4 | 14,1 | 11,0 |
| $\Delta t, \text{ }^\circ\text{C}$ | 3,3 | 3,9 | 4,6 | 4,7 | 5,7 | 7,0 | 6,7 | 7,3 | 9,2 |

Было показано, что поглощение инфракрасных лучей водяным паром препятствует остыванию атмосферного воздуха.

Изучение причин возникновения парникового эффекта, а именно поглощение тепловых лучей водяным паром и углекислым газом, было начато физиками в середине XIX века.

Температура воздуха перед заходом Солнца по наблюдениям Р. Стрейчи составила $26\text{ }^{\circ}\text{C}$, к утру она упала на $7\text{ }^{\circ}\text{C}$. Какой была абсолютная влажность воздуха?